

ポテンシャル逆問題の新たな設定と バブリング法による数値計算

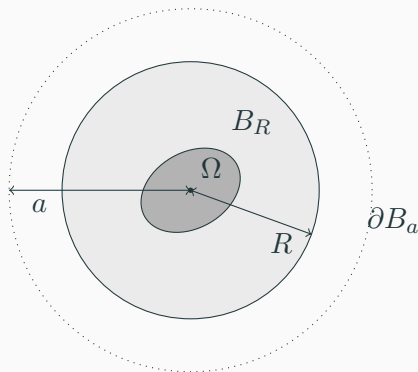
守田龍平 今川真城 磯祐介

京都大学大学院情報学研究科先端数理科学専攻

研究の概要

ポテンシャルは重力に代わる観測量になるのでは？

観測面 ∂B_a 上で観測するとき， Ω の形状回復への影響を調べる．



二層モデルの推定

二層モデル

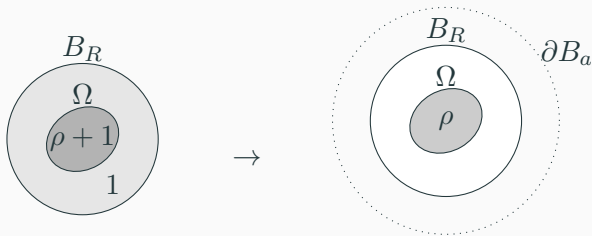
領域 B_R 上の二層構造物体のポテンシャル U は次の通り.

$$U(x) = \frac{\int_{B_R} E(x-y)dy}{U^{B_R}} + \rho \frac{\int_{\Omega} E(x-y)dy}{U^{\Omega}}$$

但し, E は Laplace 方程式の基本解である.

ポテンシャル ρU^{Ω} は ∂B_a 上で計算可能である.

$$\rho U^{\Omega} = U(\text{観測値}) - U^{B_R}(\text{既知}) \quad \text{on} \quad \partial B_a.$$

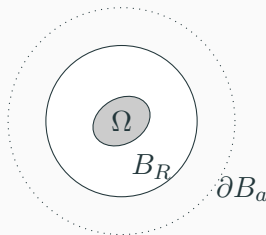


二層構造をもつ物体

埋蔵物体の影響を取り出す

測地学のポテンシャル逆問題 新たな設定

観測面 ∂B_a で観測し、領域 Ω の形状を回復する.



従来設定と新規設定を比較する.

- 重力観測 (従来)

$$\rho \nabla U^\Omega = \vec{g} \quad \text{on} \quad \partial B_a$$

- ポテンシャル観測 (新規)

$$\rho U^\Omega = p \quad \text{on} \quad \partial B_a$$

実際は有限個の地点 $\{A_n\}_{n=1}^N \subset \partial B_a$ で観測する.

- 重力観測

$$\rho \nabla U^\Omega = \vec{g} \quad \text{on} \quad \{A_n\}_{n=1}^N \subset \partial B_a$$

- ポテンシャル観測

$$\rho U^\Omega = p \quad \text{on} \quad \{A_n\}_{n=1}^N \subset \partial B_a$$

領域回復のアルゴリズムは次の2つのアルゴリズムから成る.

1. 質点系による近似 \rightarrow 最適化法
2. 質量の均一化 \rightarrow バブリング法

実際は有限個の地点 $\{A_n\}_{n=1}^N \subset \partial B_a$ で観測する.

- 重力観測

$$\rho \nabla U^\Omega = \vec{g} \quad \text{on} \quad \{A_n\}_{n=1}^N \subset \partial B_a$$

- ポテンシャル観測

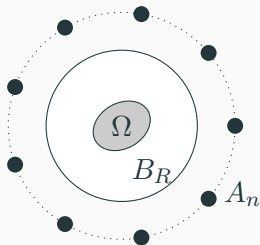
$$\rho U^\Omega = p \quad \text{on} \quad \{A_n\}_{n=1}^N \subset \partial B_a$$

領域回復のアルゴリズムは次の2つのアルゴリズムから成る.

1. 質点系による近似 → 最適化法
2. 質量の均一化 → バブリング法

質点系による近似 重力観測

観測点を $\{A_n\}_{n=1}^N \subset \partial B_a$ とする.



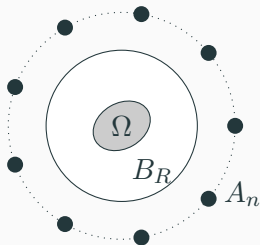
質点の系を $(X, M) = (X_1, \dots, X_K, M_1, \dots, M_K)$ で表す. コスト関数 J_G を以下のように定め, 最小化する.

$$J_G(X, M) = \frac{1}{N} \sum_{n=1}^N \left| \rho \nabla U^\Omega(A_n) - G_K(A_n; X, M) \right|^2,$$

$$G_K(A_n; X, M) = \frac{1}{4\pi} \sum_{k=1}^K \frac{M_k (A_n - X_k)}{|A_n - X_k|^3}$$

質点系による近似 ポテンシャル観測

観測点を $\{A_n\}_{n=1}^N \subset \partial B_a$ とする.



質点の系を $(X, M) = (X_1, \dots, X_K, M_1, \dots, M_K)$ で表す. コスト関数 J_P を以下のように定め, 最小化する.

$$J_P(X, M) = \frac{1}{N} \sum_{n=1}^N \left| \rho U^\Omega(A_n) - P_K(A_n; X, M) \right|^2,$$

$$P_K(A_n; X, M) = \frac{1}{4\pi} \sum_{k=1}^K \frac{M_k}{|A_n - X_k|}$$

実際は有限個の地点 $\{A_n\}_{n=1}^N \subset \partial B_a$ で観測する.

- 重力観測

$$\rho \nabla U^\Omega = \vec{g} \quad \text{on} \quad \{A_n\}_{n=1}^N \subset \partial B_a$$

- ポテンシャル観測

$$\rho U^\Omega = p \quad \text{on} \quad \{A_n\}_{n=1}^N \subset \partial B_a$$

領域回復のアルゴリズムは次の2つのアルゴリズムから成る.

1. 質点系による近似 \rightarrow 最適化法
2. 質量の均一化 \rightarrow バブリング法

バブリング法 (Partial Mass Scattering)

質点の系を密度 ρ の物体に均す.

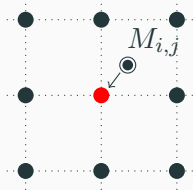
領域 B_R を幅 h のメッシュで切り, 質点 (X_k, M_k) を最近傍格子点 $\tilde{X}_k = (ih, jh)$ に移動する. $\tilde{M}_{i,j} = M_k$ とする.

$\Delta\tilde{M}_{i,j} = \tilde{M}_{i,j} - \rho h^2 > \varepsilon$ のとき,

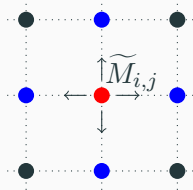
$$\tilde{M}_{i,j}^{(1)} = \rho h^2 - \varepsilon,$$

$$\tilde{M}_{i\pm 1,j}^{(1)} = \tilde{M}_{i\pm 1,j} + \frac{1}{4}(\Delta\tilde{M}_{i,j} + \varepsilon), \quad \tilde{M}_{i,j\pm 1}^{(1)} = \tilde{M}_{i,j\pm 1} + \frac{1}{4}(\Delta\tilde{M}_{i,j} + \varepsilon)$$

として更新する.



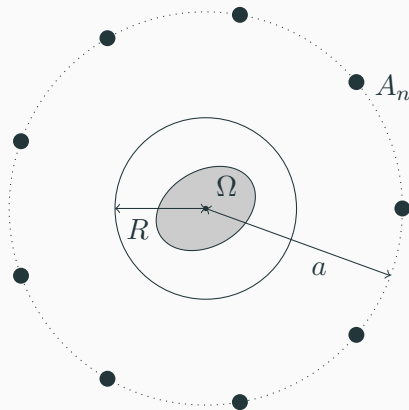
格子点に移動



質量の拡散

数値計算 目標の確認

観測半径 a を変えたとき，最適化法+バブリング法による領域 Ω の形状回復への影響を調査する．

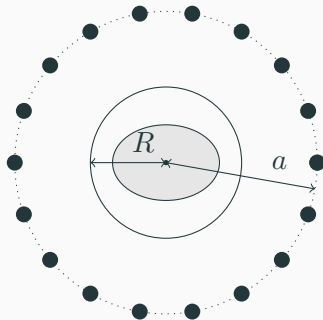


A_n で観測し， $\Omega \subset B_R$ を回復する

数値計算例：楕円形のコアの回復

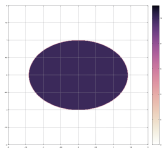
$R = 2$ とする．長半径 $\sqrt{2}$, 短半径 1, 密度 $\rho = 10$ の楕円の回復を試みる．観測器の分解能は 10^{-4} とする．

最適化には Levenberg-Marquardt 法を用いた．

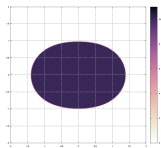


数値計算例：楕円形のコアの回復 重力観測

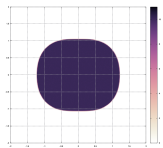
質点数 $K = 100$, 観測点数 $N = 300$ とする. a は観測半径である.



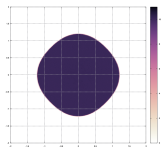
厳密解



$a = 10$



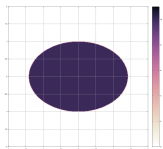
$a = 30$



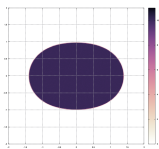
$a = 100$

数値計算例：楕円形のコアの回復 ポテンシャル観測

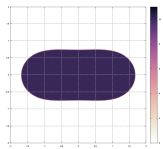
質点数 $K = 100$, 観測点数 $N = 300$ とする. a は観測半径である.



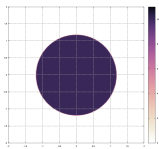
厳密解



$a = 10$



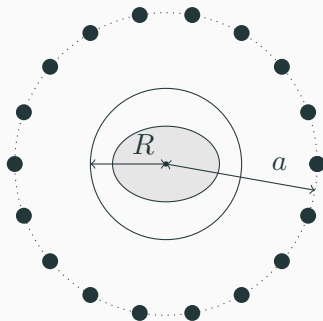
$a = 30$



$a = 100$

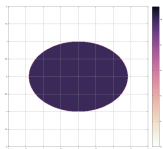
ポテンシャル逆問題において、境界でポテンシャルを既知とする問題設定を行い、重力を既知とする場合と比較した.

- 楕円形のコアの回復
重力観測と比べてポテンシャル観測の方がよりよい回復が望める.

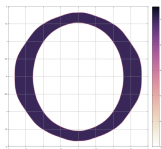


付録：初期値依存

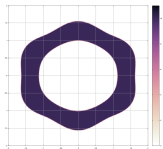
質点数 $K = 100$, 観測点数 $N = 300$ とする. a は観測半径である.



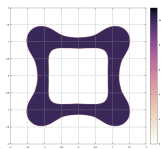
厳密解



$a = 4$



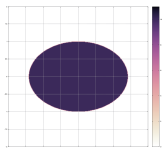
$a = 10$



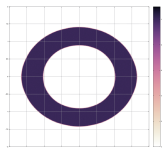
$a = 30$

付録：初期値依存

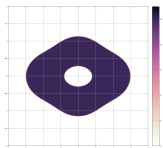
質点数 $K = 100$, 観測点数 $N = 300$ とする. a は観測半径である.



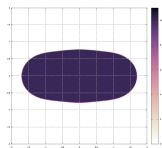
厳密解



$a = 4$



$a = 10$



$a = 30$